

航空金属学

〔苏联〕B. K. 乌利弗 K. II. 罗马季 著



国防工业出版社

航 空 金 属 学

[苏联] B. K. 乌利弗 K. II. 罗马季著

赵 忠 译 周 建 初 校

国防工业出版社

1965

內容简介

本书詳細地介绍了有关金属学及热处理的基本原理和航空用钢(碳钢、合金钢、耐热钢等)及有色金属(Al、Mg、Ti等)的成分、状态图及性能。并介绍了許多新的很有发展前途的航空金属材料和一些最新的研究方法。例如：原子反应堆材料；放射性射线对金属及合金结构与性能的影响及位错理论。另外，本书还系統地介绍了金属腐蚀和防护的知识，以及有关的工艺方法。

本书可作为航空院校的教科书或教学参考书，亦可供研究人员、航空工厂实验室及其他技术部門的工程技术人员参考。

АВИАЦИОННОЕ МЕТАЛЛОВЕДЕНИЕ

〔苏联〕 Б. К. Вульф К. П. Ромадин

ОБОРОНГИЗ 1962

*

航空金属学

赵忠译 周建初校

*

国防工业出版社出版

北京市书刊出版业营业登记证字第074号

新华书店北京发行所发行 各地新华书店经售

旅大市金县印刷厂印装

*

787×1092¹/₁₆ 印张 23¹/₈ 522千字

1965年12月第一版 1965年12月第一次印刷 印数：0,001~1,800册

统一书号：15034·871 定价：（科七）3.20元

中译本序言

航空技术的发展与金属材料有着密切的关系，本世纪初，飞机结构材料由木材改成铝合金，曾使飞行速度由每小时几十公里增加到几百公里；当飞行速度超过音速一、二倍时，热障问题又迫使铝合金让位给钛合金或不锈钢了。在1946年左右，因为创制出耐热800°C以上的镍、钴合金，才制成了喷气发动机，虽然在这以前，人们就已掌握了它的设计原理。今后，飞机或火箭性能的进一步提高，在很大程度上，仍将取决于材料的进展。事实确是如此：金属材料的发展，促进航空技术的提高；航空技术的发展，又对材料提出更高的要求，促使材料的进一步发展，二者存在着相互促进的辩证关系。

航空工业对材料的要求是十分苛刻的，要在满足严格的性能要求的同时，比重尽可能小。而不同的零件，对材料的性能要求又是各色各样的，例如喷气发动机的涡轮叶片，要与800~900°C或更高的燃气接触，又承受着十分复杂的应力作用，它的形状和尺寸又要极少改变，因此叶片材料必须有高的蠕变极限和疲劳强度；火箭发动机由于使用时间很短，就不要求抵抗蠕变和疲劳，但其燃烧室要耐更高的温度，和具有很高的化学稳定性，以抵抗浸蚀性的燃料和氧化剂的作用；用于原子能装置的材料，除了一般的性能（强度、塑性、耐腐蚀性等）外，还必须不因辐射而损伤。

金属和合金的性能也是多种多样的：有一些硬度与耐磨性高，但塑性韧性低；有一些在室温有很高的综合机械性质，却耐不了高温；有一些耐酸耐蚀，但是强度不高。而同一种合金，有些性能如强度、韧性，因热处理而改变很大，另一些性能，如弹性模量，却很少受热处理的影响。为了获得最好的韧性，有的合金需要退火，有的合金却需要淬火。在不同的使用情况下，材料的表现也大不相同，例如高碳钢车刀，在小的切削速度下切削性能良好，切削速度加大，它的切削性能便剧烈降低；镁合金在正常的大气条件下可以满意地工作，但在海水作用下，如不采用专门的保护处理，就会迅速腐蚀。看来，材料的性能是千变万化的，但却遵循一条基本规律，即金属的性能是由其内因——构造（或组织）——决定的，内因是变化的根据，外因是变化的条件，外因（热处理、使用情况等等）是通过内因（构造）起作用的。要掌握金属材料的性能，就必须把成份——处理——构造——性能——用途连成一条线索。

航空零件设计的安全系数很小，如液体火箭容器，其安全系数低到1.05—1.1（普通锅炉高到10），因此选用材料，就要求绝对安全可靠。为要求十分严格而对各色各样的航空零件选用恰当的材料，是一件相当困难的事。除了要满足使用性能外，还必须考虑到材料的工艺性能，例如：油箱、燃烧室等是焊接的，其材料就必须是可焊的，这就不得不排除了某些高强度合金。此外，选用材料时还要尽可能照顾到价格低廉和本国可以供应。因此，航空设计师必须具备足够的航空金属学知识。

金属和合金的工艺性能也是各色各样的，例如：奥氏体不锈钢有良好的塑性、焊接性，但

切削加工性不好；硅鋁明有良好的鑄造性和切削性，但却不能压力加工；对高强度鋼來說，提高切削性要軟化處理（退火或高溫回火），对鋁、鎂合金而言，切削性最好时却在硬化状态（淬火加时效）；总的來說，由于对航空合金的要求越来越高，材料的成分越来越复杂，工艺性能也就越来越差，特別是鈦合金和鈮、鉬等难熔金属，往往需要特殊的工艺方法。材料的工艺性能也是由內因（构造）决定的，因此生产工厂的工艺师也必須有足够的航空金属学知識。

看来，航空設計師、工艺师、使用工程师以及高等院校的师生都需要一本比較系統的、密切联系航空实际的、以构造为綱的、全面闡述航空金属的成分、处理、构造、性能和应用的参考书。目前，還沒有一本这样的中文著作，这本“航空金属学”，大体上可以滿足这个要求。

本书第一、二篇是基础理論，闡述純金属的构造与性能和金属的强度与塑性变形；在这两篇中，也簡要地介绍了多种試驗方法，有一定的实用价值；滑移、塑性变形、强度等概念，也揉合得比較好，强度的概念与以后的具体材料也联系得比較紧密。第三篇介紹鋼的热处理与化学热处理，是以工艺类型来分的，微观机理談得少，而宏观性能及具体应用讲得多，这样处理是恰当的。第四、五篇是具体的航空材料，包括結構鋼、耐热合金、工具鋼、鋁、鎂、鈦、鉬和減磨合金，这两篇取材丰富，而且密切联系航空产品，有較大实用价值，但有些分类，稍嫌繁瑣。第六篇是特殊用途材料，主要介紹原子反应器材料和放射性輻射对金属构造和性能的影响。第七篇航空合金的腐蝕，簡明地介紹腐蝕的理論，然后以結構鋼、高合金鋼、鋁合金、鎂合金分章，分別闡述其腐蝕情况和防护方法，与航空产品及生产实践联系得比較好。

本书是苏联航空学院的一本教科书，取材比較丰富，叙述比較系統。虽然也还有一些不足之处，如某些材料（如低溫合金）沒有列入，但是在理論联系实际、性能联系构造、材料結合用途方面还是比較好的，仍不失为一本值得介紹的参考书。

周 建 初

1964年7月

目 录

中译本序言	3
-------------	---

第一篇 金属合金理論

第一章 純金属的构造与性能	11
§ 1 金属和合金的结晶构造	11
§ 2 金属的晶格	11
§ 3 晶面	14
§ 4 物体的各向同性和各向异性	16
第二章 結晶和鑄錠构造	21
§ 1 結晶类型	21
§ 2 在熔融状态的結晶	23
§ 3 結晶規律	25
第三章 研究金属和合金的方法	30
§ 1 概論	30
§ 2 化学分析	31
§ 3 光譜分析	32
§ 4 热分析	33
§ 5 膨脹分析	34
§ 6 X射綫分析	35
§ 7 金相分析	37
第四章 金属合金的构造	45
§ 1 合金概論	45
§ 2 相律	46
第五章 状态图	50
§ 1 概論	50
§ 2 共晶型状态图	50
§ 3 无限固溶体状态图	55
§ 4 有限固溶体状态图	58
第六章 三元状态图概念	76
§ 1 建造三元系状态图的方法	76
§ 2 形成无限固溶体的三元系状态图	77
§ 3 形成机械混合物的三元系状态图	78

第二篇 金属的强度与塑性变形

第一章 金属的弹性与塑性变形机理	81
§ 1 金属晶格的强度	81
§ 2 静荷条件下单晶体的变形	82
§ 3 金属的韧性与脆性破坏	84
§ 4 主要的机械性能	85

第二章 多晶体变形时的性能与结构	85
§ 1 多晶体变形的特点	85
§ 2 低碳钢拉伸图的分析	86
§ 3 真实应力图	88
§ 4 拉伸试验时塑性指标的测定	88
第三章 位错的理论基础	94
§ 1 概述	94
§ 2 刀型位错	95
§ 3 螺旋型位错	96
第四章 再结晶	100
§ 1 金属在塑性变形时结构与性能的变化	100	100
第五章 动载荷试验时金属的性能	104
§ 1 动载荷破坏的本质	104
§ 2 冲击韧性	105
第六章 金属的硬度	106
§ 1 硬度概论	106
§ 2 布氏硬度	107
§ 3 洛氏硬度	107
§ 4 维氏硬度	108
第七章 金属的持久强度	111
§ 1 金属疲劳概论	111
§ 2 持久强度的长期试验	115
第八章 金属在高温和低温下的强度	116
§ 1 金属热强性概论	116
§ 2 高温短时拉伸试验	117
§ 3 蠕变试验	118
§ 4 长期强度试验	120
§ 5 显微硬度	109
§ 6 摆式硬度法	110
§ 7 动载荷硬度法	110
§ 8 持久强度的加速试验	115

第三篇 钢的热处理与化学处理

第一章 概論	125
§ 1 热处理的实质与用途	125
§ 2 热处理与状态图的关系	126
第二章 退火与正火	128
§ 1 加热时在钢中发生的现象	129
§ 2 钢在保温和冷却时发生的现象	134
§ 3 预先热处理的一般规范	136
第三章 淬火与回火	140
§ 1 钢的淬火理論	140
§ 2 钢淬火的实际操作	148
§ 3 淬火时出现的缺陷及其防止法	151
§ 4 淬透性	153
§ 5 钢中的残余奥氏体；冷处理	157
§ 6 钢的等溫和分級处理	158
§ 7 钢的回火	162
§ 8 钢的表面淬火	166

第四章 鋼的化學熱處理	170
§ 1 概述	170
§ 2 渗碳	172
§ 3 渗氮	176
§ 4 氮化	179
§ 5 渗鋁	180
§ 6 鎔化	181
§ 7 渗硅	183

第四篇 航空用鋼與合金

第一章 碳鋼	184
§ 1 概述	184
§ 2 碳對鋼構造與性能的影響	184
§ 3 杂质對鋼性能的影響	185
第二章 鑄鐵	189
§ 1 一般特性	189
§ 2 鑄鐵按結構的分類	190
第三章 合金元素的影響概論	194
§ 1 合金鋼概念	194
§ 2 合金元素與鉄的相互作用	195
§ 3 合金元素對鉄多晶形轉變的影響	195
§ 4 合金元素與碳的相互作用	197
§ 5 合金元素對鋼臨界點的影響	199
§ 6 合金元素對奧氏體晶粒長大的影響	199
§ 7 合金元素對奧氏體等溫分解和淬透性的影响	200
§ 8 合金元素對馬氏體轉變的影響	200
§ 9 合金元素對回火轉變的影響	201
§ 10 合金元素對鉄素體性能的影響	202
第四章 合金鋼的分類與編號	203
§ 1 合金鋼的分類	203
§ 2 合金鋼的編號	204
第五章 鎳鋼	205
§ 1 鎳對鋼結構與性能的影響	205
§ 2 鎳鋼的結構圖	206
第六章 鉻鋼	207
§ 1 鉻對鋼結構與性能的影響	207
§ 2 鉻鋼的結構圖	208
第七章 鉻鎳鋼	210
§ 1 鉻與鎳對鋼結構與性能的共同影響	210
§ 2 鉻鎳鋼的缺陷	211
第八章 鉻鎳錫鋼、鉻鎳錫鋼和鉻錫鋁鋼	213
§ 1 錫、鋁對鋼結構與性能的影響	213
§ 2 鉻鎳錫、鉻鎳錫和鉻錫鋁鋼的應用	214
第九章 鉻錳硅鋼	217
§ 1 概述	217
§ 2 鉻錳硅鋼的熱處理特點	217
§ 3 鉻錳硅鋼的缺陷	218
§ 4 鉻錳硅鋼的應用	219
第十章 不銹鋼	221
§ 1 一般特性	221
§ 2 鉻不銹鋼	221
§ 3 鉻鎳不銹鋼	222
第十一章 热強和热穩定鋼與合金	225
§ 1 一般特性	225
§ 2 热強性概念	226

§ 3 合金元素和结构对热强性的影响	227	§ 5 热强和热稳定钢	228
§ 4 合金元素对热稳定性的影响	228	§ 6 镍基和钴基热强和热稳定合金	232
第十二章 以难熔金属为基的热强合金			238
§ 1 一般特性	238	§ 4 钼及其合金	247
§ 2 铬及其合金	241	§ 5 钨及其合金	250
§ 3 钨及其合金	244		
第十三章 工具钢			252
§ 1 概述	252	§ 3 硬质切削合金	256
§ 2 高速钢	253		

第五篇 航空有色合金

第一章 铝合金			258
§ 1 纯铝的性能	258	§ 7 焊接结构和冷冲压合金	273
§ 2 铝和其它元素的相互作用	259	§ 8 钎钉用铝合金	274
§ 3 铝合金分类	261	§ 9 热强变形铝合金	275
§ 4 硬铝	262	§ 10 粉末烧结铝热强材料(CAII)	278
§ 5 高强度铝合金 B95	270	§ 11 铸造铝合金	278
§ 6 锻造合金	271		
第二章 镁合金			286
§ 1 纯镁性能	286	§ 4 压力加工镁合金	288
§ 2 镁与其它元素的作用	287	§ 5 铸造镁合金	290
§ 3 镁合金的一般特性	288		
第三章 钛及其合金			294
§ 1 钛的制取与性能	294	§ 3 钛基合金的成分、性能与应用	297
§ 2 钛与其它元素的相互作用类型	295		
第四章 铜和减磨合金			301
§ 1 纯铜的性质和应用	301	§ 3 青铜	307
§ 2 黄铜	303	§ 4 锡基减磨合金	315

第六篇 特殊用途材料

第一章 放射线辐射对材料构造与性能的影响			317
§ 1 概述	317	§ 3 由于放射线照射材料构造和	
§ 2 固体的放射线损伤	317	性能的变化	318
第二章 原子反应堆用的材料			322
§ 1 概述	322	§ 4 传热剂	325
§ 2 燃料	323	§ 5 辐射保护材料	326
§ 3 中子减速剂和反射剂	324	§ 6 结构材料	327

第七篇 航空合金的腐蚀

第一章 腐蚀的基本概念			330
第二章 腐蚀过程理论			331

§ 1 腐蝕类型	331	物理化学本性	334
§ 2 化学腐蝕	332	§ 4 內在因素对腐蝕过程的影响	340
§ 3 电化腐蝕金属和电解液的		§ 5 外界因素对腐蝕过程的影响	342
第三章 碳鋼和低合金鋼的腐蝕			344
§ 1 鋼的电位不均匀性	344	§ 3 鋼腐蝕的保护	346
§ 2 腐蝕的机理和氧的影响	345		
第四章 高合金鋼的腐蝕			351
§ 1 不锈鋼和耐酸鋼	351	§ 2 热稳定鋼	354
第五章 鋁合金的腐蝕			356
§ 1 鋁及其合金的腐蝕特性	356	§ 6 鋁錳合金	360
§ 2 合金元素的影响	356	§ 7 工艺因素的影响	360
§ 3 高强度鋁合金	357	§ 8 鋁合金的腐蝕防护	360
§ 4 鋁硅合金(硅鋁明)	359	§ 9 与其它合金接触的影响	364
§ 5 鋁鎂合金	360		
第六章 鎂合金的腐蝕			364
§ 1 鎂合金腐蝕的特点	364	§ 3 鎂合金的腐蝕保护	365
§ 2 合金元素的影响	365	§ 4 鎂合金的有害接触	366
第七章 腐蝕試驗方法的基本知識			368
参考文献			370

第一篇 金屬合金理論

第一章 純金屬的构造与性能

§ 1 金属和合金的結晶构造

固体状态的金属和金属合金，不管它們的制取方法如何，都具有結晶构造。

結晶构造的特征，是原子呈規則的排列。晶体的原子，分布在物体体积內，形成空間格子——規則的几何排列——立方、斜方、菱形等。

很早以前，就提出晶体存在空間格子的假說。曾經发现，能够形成晶体的物体，具有一定的形状，而且这种形状仅为該物体所具有。應該特別着重指出，晶体各棱面間的角度是一定的。

关于原子在晶体內規則排列的假定，不能用显微分析試驗証实，因为用放大率最高的光学显微鏡，只可观察到大于 0.15 微米的质点。尺寸小于 0.15 微米的物体，不反射光綫，因而看不见。这种显微质点的体积，要由几万万个原子构成。

仅在发现 X 射綫后，才有可能确定金属的結晶构造。1912 年著名学者拉烏艾(Лауэ)用它来研究原子在空間格子內的排列。

原子在空間排列不規則的物体，称为非晶体。非晶体的典型例子是一般的玻璃。非晶体的性能具有液体的特征。两端放在支柱上的玻璃板，随着时间而下垂，即在自重的影响下发生流动。放在水平表面上、在打击时容易破碎的树脂，在自重的影响下，随着时间像液体一样流展开来。

这两种物质（玻璃和树脂），在外部标志上属于固体，但实际上是非晶体。以后所謂「固体」，将理解为結晶体，即其原子（分子或离子）在空間排列严格一定的物体。业已确定，所有固态的金属和合金，毫无例外地是晶体。

§ 2 金属的晶格

按外形晶体可以属于不同的座标系[●]。座标系以晶軸比例 a 、 b 、 c 和座标角[●] α 、 β 、 γ 决定。

还在 1891 年，俄罗斯的結晶学家 E. C. 費多洛夫(Федоров)就証明，在描述晶体时，用七个座标系就够了。这七个座标系列于表 1。

有几种描述晶体內原子排列的图形和方法。其中一个晶面的原子排列，如图 1 所示。

● 别的教科书中又称为晶系。——譯者

● 又称为軸間夾角。——譯者

在简单立方晶格中，可以想像的主要面如图 2 所示。經過原子中心引伸的假想綫，形成了格子，金属原子（正确地說是帶正电的离子）就处在其結点上。

相邻原子中心間的距离以埃度量。1 埃等于 10^{-8} 厘米，以符号 \AA 表示。长一厘米的晶体中有几千万个晶面。

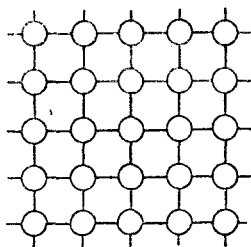


图 1 原子在晶面上分布的示意图。

原子在晶体物质內的分布，能很方便地用所謂单元晶胞來描繪（图 3）。

单元晶胞棱边原子間的距离 a ，称为晶格参数或晶格常数。

根据七个不同结晶座标系，有 14 个主要晶胞类型。

金属中最普遍的只有三种晶格：体心立方、面心立方和六方晶格（图 4）。

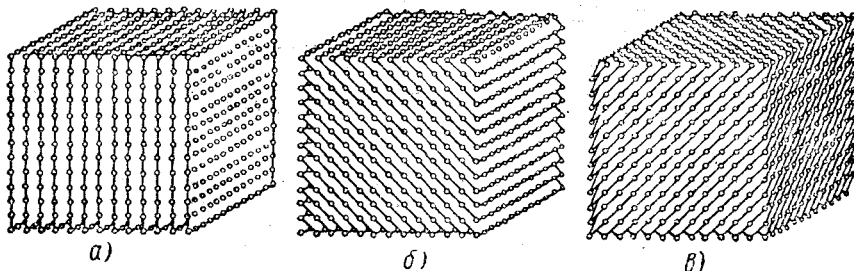


图 2 简单立方晶格的主要面（网）：
a—立方面；b—斜十二面体面；c—八面体面。

表 1 七个座标系的参数

系的名称	晶軸比例	座 标 角
立 方	$a=b=c$	$\alpha=\beta=\gamma=90^\circ$
正 方	$a=b \neq c$	$\alpha=\beta=\gamma=90^\circ$
斜 方	$a \neq b \neq c$	$\alpha=\beta=\gamma=90^\circ$
菱 方	$a=b=c$	$\alpha=\beta=\gamma \neq 90^\circ$
六 方	$a=b \neq c$	$\alpha=\beta=90^\circ, \gamma=120^\circ$
单 斜	$a \neq b \neq c$	$\alpha=\gamma=90^\circ, \beta > 90^\circ$
三 斜	$a \neq b \neq c$	$\alpha \neq \beta \neq \gamma \neq 90^\circ$

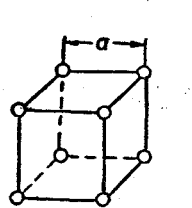


图 3 简单立方晶格的单元晶胞。

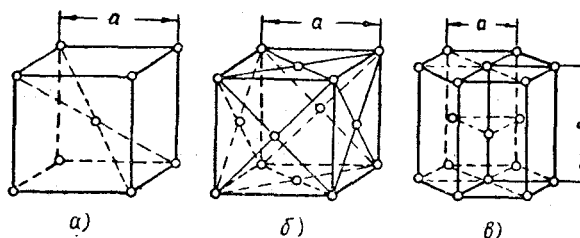


图 4 金属中最常见的单元晶格：
a—体心立方；b—面心立方；c—六方。

某些金属具有正方晶格，其中晶格常数 c/a 之比表征正方度（图 5）。

在图 3、4 和 5 上所采用的表示晶格的方法是假定的。更正确的是，晶格中的原子是彼此接触的形式，体心立方的这种表示法，如图 6 所示，面心立方如图 7 所示，六方晶胞如图 8 所示。

简单的立方晶格（见图 3）不够致密。金属原子力求占据彼此最近的位置，这便形成图 4 所示的、比較密排的晶格。結晶结构的重要特征，是每个单元晶胞所具有的原子数。

在简单立方晶格中，每一晶胞只有一个原子，因立方体頂点有八个原子，而每个原子又为八个晶胞所共有 ($\frac{1}{8} \times 8 = 1$)。

在体心立方晶格中，每个晶胞有两个原子，因为处在立方体中心的原子仅为該晶胞独有 ($\frac{1}{8} \times 8 + 1 = 2$)。

在面心立方晶格中，每个晶胞有四个原子，因为处在中心面的每一个原子为两个晶胞所共有；总共有六个面，因而每个晶胞有三个这样的原子和一个处在立方体頂点的原子 ($\frac{1}{8} \times 8 + \frac{1}{2} \times 6 = 4$)。

体心立方晶格可以想像为，由两个简单立方晶格在对角綫移动一半所組成（图 9）。

图 5 正方单元晶格。

图 6 体心立方单元晶胞
內原子的排列。

图 7 面心立方单元晶胞內
原子的排列。

图 8 密排六方单元晶胞內
原子的排列。

面心立方可以想像为，由四个简单立方晶格构成，简单立方晶格的原子即处在立方面中心（图 10）。

每个单位晶胞的实际原子数，称为晶格密排度或晶格基數。

图 9 体心立方晶胞。

图 10 面心立方晶胞。

晶格原子間的結合鍵可以不同，隨其化學本性而定。

金属和合金的特征是：金属鍵是在帶正電的金属离子和帶負電的半自由价电子間產生。这些价电子为所有被結合的原子所公有，它們容易由一个原子的軌道过渡到邻近原子的軌道上去，这样就把原子整个剩下的离子部分，保持在一定距离上，并与周围离子相互作用。电子从一个軌道向另一軌道（邻近原子的軌道）的这种过渡，就是所謂帶同号电的原子間同极鍵的特征。当金属与非金属形成化合物时产生异极鍵，这种鍵是由帶正负电的离子实现的。

原子彼此間愈邻近，晶格排列愈密，电子愈容易从一个原子过渡到另一个原子。在这种情况下，很可作为特征的是每种金属晶格的致密度，即表示原子占据晶格整个体积几分之几的数值。

除了被原子占据的体积外，每种晶格将剩下未被原子占据的空間（见图 6、7、8）。如果把被原子占据的体积与晶格总体积相比，则获得致密度。显然，致密度愈大，则晶格內原子愈紧密。简单立方的致密度为 0.52，体心立方为 0.68，面心立方为 0.74。很明显，最后两种晶格，原子間的結合比第一种强烈。

处在最邻近，并与該原子等距离的原子数，称为配位数。它表明晶格中围绕每个原子的最近原子数是多少。这些原子愈多，配位数愈大，因而晶格的致密度愈高。

例如，在简单立方晶格內，任何原子都有六个等距的原子，因而简单立方晶格的配位数是 6。体心立方晶格的中心原子，具有八个等距的邻接原子，因而体心立方的配位数为 8。在面心立方和密排六方晶格中，配位数等于 12。

为了使晶格代号簡化，并能在符号內表示出晶格类型和配位数，采用下述系統：

简单立方	K 6
体心立方	K 8
面心立方	K 12
密排六方 $\left(\frac{c}{a} = 1.633\right)$	Γ 12

从表 2 可以看出，大多数晶格为 K 8、K 12 和 Γ 12。

还必须指出，具有几种晶格的元素，其原子半径的大小，与配位数有关。

例如，鐵（见表 2）可以結晶成配位数为 K 8 的体心立方晶格，和配位数为 K 12 的面心立方晶格。业已确定，K 8 晶格的原子半径約比 K 12 晶格小約 3%。

§ 3 晶 面

为了在晶体中标志方向，隨之确定空間格子中面的位置时，利用在座标軸上的平面的截距。

为了方便和简单起见，不使用截距而用指数 h 、 k 、 l 。指数 h 、 k 、 l 为有理数，是該面在座标軸上截距的倒数。同时，每个軸上的截距，用相应的晶格常数 a 、 b 、 c 作为比例单位量度。

如果面平行于两个座标軸，例如 y 和 z （图 11），則在三軸上的截距将为 1、 ∞ 、 ∞ ，

表 2 哈. 乌. 门捷列耶夫元素周期表

周 期	族																			
	Ia	IIa	IIIa	IVa	Va	VIa	VIIa	VIIa	VIIa	IIb	IIb	IIIb	IVb	Vb	VIIb	VIIb	VIIb			
I	1 ^{1.0080} H 氢 ¹ _γ	K - 简单立方 KU - 一体心立方 KU - 面心立方	T - 一体心正方 T ₁₁ - 面心正方 T ₁₁ - 复杂正方 T ₁₁ - 六方 T ₁₁ - 密排六方	P - 长方 P ₃ - 菱方 P ₆ - 正斜 M - 单斜 A - 金剛石型 C - 食盐	5 ⁶ B 硼 ^{12.01} _γ 硼 10.82 硼 T ₁₁ A, Γ	6 C 钻石 ^{14.00} _γ 钻石 12.01 硼 KU	7 N 氮 ^{14.00} _γ 氮 15.00 氮 P, KU	8 O 氧 ^{16.00} _γ 氧 19.00 氧 P, KU	9 F 氟 ^{19.00} _γ 氟 20.00 氟 KU	10 Ne 氖 ^{20.00} _γ 氖 20.00 氖 KU										
II	3 ^{6.940} Li ^{7.013} _γ 锂 KU T ₁₁	KC - 体心立方 KC - 面心立方	T ₁₁ - 面心正方 T ₁₁ - 复杂正方 T ₁₁ - 六方 T ₁₁ - 密排六方	M - 单斜 A - 金剛石型 C - 食盐	11 ¹² Na _{22.991} _γ 钠 KU T ₁₁	12 Al ^{26.989} _γ 铝 26.989 铝 KU, P ₃	13 Si ^{28.09} _γ 硅 硅 A	14 P ^{30.975} _γ 磷 磷 KU, P ₃	15 S ^{32.065} _γ 硫 硫 P	16 Cl ^{35.457} _γ 氯 氯 P	17 Ar ^{36.944} _γ 氩 氩 P									
III	19 ²⁰ K _{39.00} _γ 钾 KU	21 Ca _{40.08} _γ 钙 KU, T ₁₁ , KU	22 Sc _{44.95} _γ 钪 KU, KU, T ₁₁	23 V _{50.96} _γ 钒 KU, KU, T ₁₁	24 Cr _{52.01} _γ 钐 KU, KU, T ₁₁	25 Mn _{54.94} _γ 锰 KU, KU, T ₁₁	26 Fe _{55.65} _γ 铁 KU, KU, T ₁₁	27 Co _{58.96} _γ 钴 KU, KU, T ₁₁	28 Ni _{58.69} _γ 镍 KU, KU, T ₁₁	29 Cu _{63.53} _γ 铜 KU, KU, T ₁₁	30 Zn _{65.43} _γ 锌 KU, KU, T ₁₁	31 Ge _{72.60} _γ 硅 KU, KU, T ₁₁	32 As _{73.95} _γ 砷 砷 P ₃	33 Se _{73.96} _γ 硒 硒 P ₃	34 Br _{73.96} _γ 溴 溴 P ₃	35 Kr _{73.96} _γ 氯 氯 P ₃				
IV	37 ^{85.48} Rb _{87.63} _γ 铷 KU	39 Sr _{88.92} _γ 钡 KU	40 Y _{91.22} _γ 钇 KU	41 Nb _{92.31} _γ 钪 KU	42 Zr _{92.31} _γ 锆 KU	43 Ta _{93.95} _γ 钨 KU	44 Ru _{102.91} _γ 钔 KU	45 Rh _{102.91} _γ 铑 KU	46 Pd _{102.91} _γ 钯 KU	47 Ag _{102.91} _γ 银 KU	48 Cd _{114.24} _γ 镉 KU	49 In _{118.76} _γ 锡 锡 P ₃	50 Sn _{119.76} _γ 锡 锡 P ₃	51 Sb _{121.76} _γ 锗 锗 P ₃	52 Te _{127.61} _γ 锗 锗 P ₃	53 I _{131.33} _γ 砹 砹 P ₃	54 Xe _{131.33} _γ 氙 氙 P ₃			
V	55 ^{132.91} Cs _{133.25} _γ 钡 KU	57 Ba _{138.32} _γ 钡 KU	58 La _{140.95} _γ 钷 KU	59 Ce _{140.95} _γ 钷 KU	60 Pr _{141.0} _γ 钷 KU	61 Nd _{144.27} _γ 钷 KU	62 Sm _{150.45} _γ 钷 KU	63 Eu _{156.9} _γ 钷 KU	64 Gd _{158.93} _γ 钷 KU	65 Tb _{162.45} _γ 钷 KU	66 Dy _{164.94} _γ 钷 KU	67 Ho _{167.2} _γ 钷 KU	68 Er _{168.40} _γ 钷 KU	69 Tm _{171.04} _γ 钷 KU	70 Yb _{174.99} _γ 钷 KU					
VI	72 ^{171.5} Fr _{222.05} _γ 钫 KU	73 Hf _{178.6} _γ 钷 KU	74 Ta _{183.32} _γ 钷 KU	75 W _{183.32} _γ 钷 KU	76 Re _{192.2} _γ 钷 KU	77 Os _{192.2} _γ 钷 KU	78 Pt _{195.33} _γ 钷 KU	79 Au _{197.0} _γ 金 KU	80 Hg _{200.61} _γ 汞 汞 P ₃	81 Pb _{209.00} _γ 铅 铅 KU	82 Bi _{210.0} _γ 铋 铋 KU	83 Po _{210.0} _γ 钋 钋 KU, P ₃	84 At _{222.0} _γ 钋 钋 KU, P ₃							
VII	* 58-71 铜系元素	* 57 Ba _{138.32} _γ 钡 KU	* 58 Ce _{140.95} _γ 钷 KU	* 59 Pr _{141.0} _γ 钷 KU	* 60 Nd _{144.27} _γ 钷 KU	* 61 Sm _{150.45} _γ 钷 KU	* 62 Eu _{156.9} _γ 钷 KU	* 63 Gd _{158.93} _γ 钷 KU	* 64 Tb _{162.45} _γ 钷 KU	* 65 Dy _{164.94} _γ 钷 KU	* 66 Ho _{167.2} _γ 钷 KU	* 67 Er _{168.40} _γ 钷 KU	* 68 Tm _{171.04} _γ 钷 KU	* 69 Yb _{174.99} _γ 钷 KU	* 70 Lu _{175.00} _γ 镧 镧 KU					
	* 90-101 锕系元素	90 Th _{232.05} _γ 钍 KU	91 Pa _{231.0} _γ 钍 T	92 U _{238.07} _γ 钍 P, TC, KU, UP, TC, KU, CKU, T, KU	93 Np _{237.0} _γ 钍 KU	94 Am _{243.0} _γ 钍 KU	95 Cm _{247.0} _γ 钍 KU	96 Bk _{249.0} _γ 钍 KU	97 Cf _{255.0} _γ 钍 KU	98 Es _{259.0} _γ 钍 KU	99 Fm _{265.0} _γ 钍 KU	100 Md _{265.0} _γ 钍 KU	101 No _{265.0} _γ 钍 KU							

* 目前已发现 102 号元素 (No) 锔，103 号元素 (Lw) 锔。表中为译者所添。

其倒数值将是 $\frac{1}{1}$ 、 $\frac{1}{\infty}$ 、 $\frac{1}{\infty}$ ，因而指数 h 、 k 、 l 将等于 1、0、0。面指数用圆括弧括起，如 (100)。

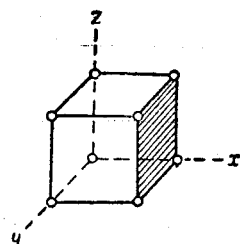


图 11 平行于立方体面的截面(100)。

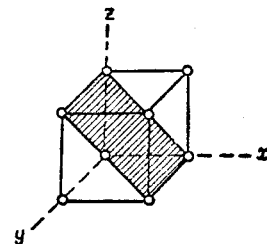


图 12 平行于斜方十二面体面的截面(101)。

如果面平行一个坐标轴（图 12），则在三座标轴上的截距将是 1、 ∞ 、1，倒数将为 $\frac{1}{1}$ 、 $\frac{1}{\infty}$ 、 $\frac{1}{1}$ ，指数 h 、 k 、 l 将等于 (101)。

如果面与轴的截距为 1、1、1（图 13），倒数将是 $\frac{1}{1}$ 、 $\frac{1}{1}$ 、 $\frac{1}{1}$ ，面指数 h 、 k 、 l 将等于 (111)。

在面通过坐标原点的情况下，应该平行于自己移动，然后再决定截距。

如果某一平面为负截距，则其指数亦为负值，并且在指数上面加一个负号。

立方系最重要的晶面是：

图 13 平行于正八面体面的截面(111)。

1) 具有指数(100), (010), (001) 等的立方体面（见图 11）；

2) 通过对角线和立方体棱边的斜方十二面体面，它的指数为(110), (011), ($\bar{1}\bar{1}0$)等（见图 12）；

3) 通过立方体三顶点的八面体面，其指数为 (111), ($\bar{1}\bar{1}\bar{1}$), ($\bar{1}\bar{1}\bar{1}$) 等（见图 13）。

应用结晶学的指数，可以确定每种类型晶格的任何原子面的位置。

研究任一晶格的不同的面，可以确定原子分布是否稠密。立方晶格的重要晶面列于图 11、12 和 13，原子填充的密度各不相同。

晶体中某一面的原子填充密度决定了所取晶体在该方向的性能。

§ 4 物体的各向同性和各向异性

液体的特征是，它的性能在各个方向是一样的，即它是各向同性的。在所有方向上表现出相同的抵抗，例如当通过电流、传播光等。

物体表现的性能，是外界物质因素与构成该物体的质点相互作用的结果。

在非晶玻璃状物质的粘滞过冷液体中，原子是不规则排列的，并不形成空间格子，而